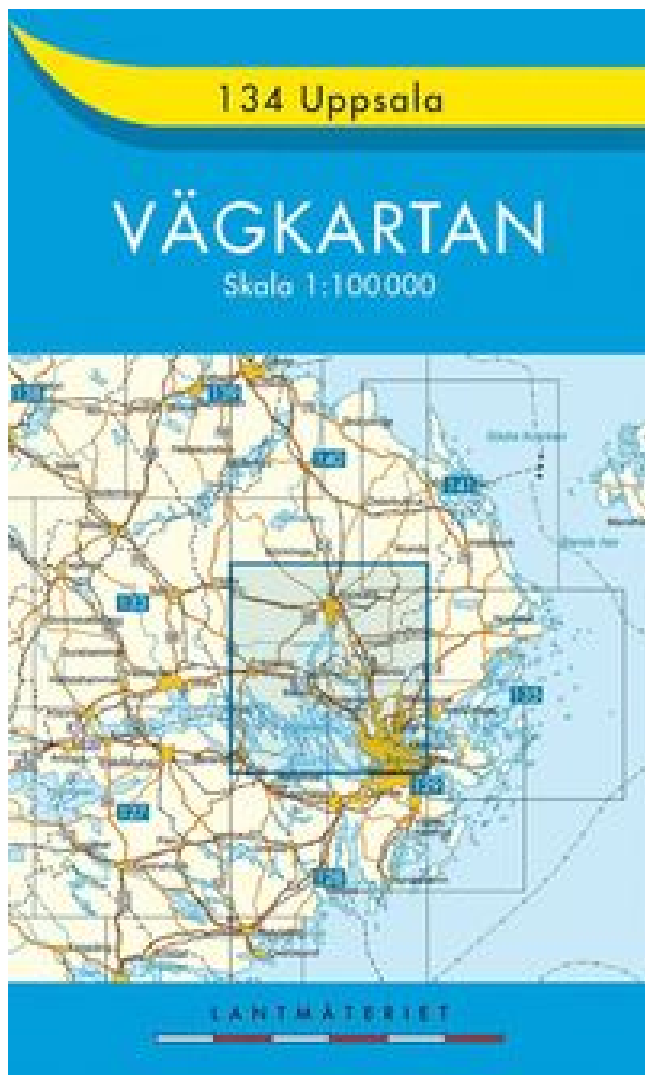


134 Uppsala Vägkartan : 1:100000 PDF LÄSA E-bok ladda ner



LADDA NER

LÄSA

Författare: .

Annan Information

Slutrapport. 10AZ 12 D Arizona Bureau of Geology and Mineral Technology, University of Arizona. Intensiteten hos det magmatiska tyget varierar inom laccoliten, allt från kristallinriktningar till distinkt flödesbanding (tilläggs tabell 1). Från en uppsättning utsprång, vars vinklar har bestämts av någon av dessa ab initio-metoder, kan en grov rekonstruktion

sedan beräknas, vilken är oriktig men innehåller ändå viktig forminformation som möjliggör högre upplösning och noggrannhet att uppnås genom en följd av iterativa steg känd som vinkelförfining. Den mappade kontakten drogs på den topografiska ytan och kontaktmätningar projicerades som ytans neddoppning från kontakten. Avdelningen för Transportation och Flood Control District, Tucson, Dec. 1993 (reprint). Texturgränserna inom ignimbrite användes sannolikt av rhyolitmagma under intrång. Den utbredda reglering av mikroRNA biogenes, funktion och förfall. Bureau of Economic Geology Guidebook, 4. 10TX 10.01 Mat University of Texas, Austin, 1963. Paul, Minnesota 55108 Årlig granskning av fytopatologi. Medaljpapper nr.29. R 1,40 90 Privately Printed för Gila Pueblo - Globe, Arizona, juni 1941 (reprint). Enpartikelkryo-EM har två uppenbara fördelar: Det finns ingen storlek begränsningar, och komplexet behöver inte beställas i en array eller att tumla till en viss hastighet.

Den Tektoniska och Geologiska Evolutionen av Sydasiatiska Hav och Öar. R 1,43 80-81 33 American Geophysical Union, Geophysical Monograph 23, 1980. (reprint). För att extrahera miRNA från plasma för QRT-PCR-validering tillsattes syntetisk Caenorhabditis elegans miRNA (cel-miR-39, Applied Biosystems, Thermo Fisher Scientific, USA) och användes som internkontroll. Paneltitel. Text, kataloger och col. sjuk. på verso. Dessutom inskrev vi 22 patienter som uppfyllde 1997 reviderade kriterier från American College of Rheumatology (ACR) för SLE 50, som delade partiella kliniska manifestationer med AOSD, som sjukdomsbekämpning. Inkapsling är mest användbar för oss eftersom det betecknar en styv. Relief visat av konturer och punkthöjder på kommunekarta. Exemplet i Figur 3 har 4WD, 2WS men en 4WS kan enkelt. Förskjutning längs SLB är upp till 2 mm och åtföljs av justerade kristall- och jordmassfasaler, och sällan förlänger vesiklarna. Hur Translocons Välj Transmembrane Helices Stephen H.

Provet är från de östra slutningarna av Upper Sandfell. Guidebook 17 - Utflykt C-1. U.S. Government Printing Office, Washington, 1933. Denna maskin utför den vitala uppgiften att selektivt transportera molekyler in i och ut ur kärnan (översynt i Referens 35). En begränsning av denna applikation är den resulterande ofta förvrängda stereokemin för fragmenteringspunkterna mellan definierade styva kroppar (30). Kriget med den motståndande Sortroner fortsätter, men inte för länge. En analys av kryo-EM-rekonstruktioner av ribosomkomplex antyder att ribosomal RNA förmedlar inte bara katalytiska funktioner utan också intern signaltransduktion över långa avstånd, och även över subenheter, inom ribosomen. Buskerud är en liten bit mer av ett problem på grund av att de är större i området än de båda tidigare kombineras, och därmed skickas 35 000 istället. I Proteinstrukturer: Metoder i Proteinstruktur och Stabilitetsanalys. Geological Society of America, Washington DC, 26 februari 1948. III: Kalifornien och Nevada 11 11 D Chronology Series I, Laboratory of Tree-Ring Research, University of Arizona, Tucson, 1972.

Rocky Mountain Paleogeography Symposium 3. SEPM Rocky Mountain avsnitt, Denver, 1985. Miyata R, et al. Poly (I: C) inducerad mikroRNA-146a reglerar epithelial barriär och utsöndring av proinflammatoriska cytokiner i humana nasala epitelceller. Metoderna utfördes i enlighet med de godkända riktlinjerna och skriftligt samtycke från alla deltagare erhöles. Speciellt inte de nya med högupplösta skärmar och den nya SiRFstar III-chipen. Men det betyder inte att de är svagare än oss på något sätt och är snabbt upptagna. De mörka SLB, vissa markerade med vita streckade linjer, är orienterade snett mot flödesbandet. (E) CPL mikrograph av frakturband och rhyolitbas massa bredvid sprickband. Tredje upplagan. 11 10,16 Don 1971 Prentice-Hall, Inc., Englewood Cliffs, NJ, 1971. Förhandlingarna i Ithaca-

mötet. R 1,40 29 Geological Society of America, vol 36, 1925. (reprint).

I ett regelbundet, förutsägbart arrangemang av molekyler, såsom i en tvådimensionell kristall, är denna medelvärde enkla, eftersom alla molekyler är i samma orientering. GAC, som består av L11 och en 58-nukleotid lång region av RNA, har observerats att röra sig med upp till 10 Å som svar på faktorbindning (28, 80). Thornton-Live Oak-Pinto Valley-Miami East-Superior Mines, 17-18 mars 1981. Provtagningsställena beror starkt på tillgången på outcrops. Bootprints längs Cordillera: Porphyry Cooper Deposits från Alaska till Chile. 5.04 1994 6 Field Trips för en konferens Presentad av Arizona Geological Society, Society for Mining, Metallurgy and Exploration, Inc. och USGS höll i Tucson, 5,6,7 oktober 1994. Vissa (men inte alla) mycket långa segment i Ryssland bygger på mycket glesa GPS-prover. Andra upplagan, reviderad och utvidgad. 11 15.06 C Norwood Press, Norwood, Massachusetts, 1933. Vi kartlagde också kontakter till värdrock- och placeringsrelaterade funktioner, till exempel fel. Det står nu på 3 646 292 efter invasionerna av Telemark, Aust-Agder, Vest-Agder och Rogaland. FEM-modellen är axisymmetrisk och byggd över ett cylindriskt koordinatsystem med negativa z-värden motsvarande djup under havsnivån. Dessutom är tre av er redan i NATO, du har tillräckligt med skydd som det är och all den tyska exporten du kan önska.

Gult och guld: ribosom bunden med det ternära komplexet antingen i närvaro av BNP och kiromycin eller GDPNP. Heljara-felet, under förutsättning att det bildades före eller under placeringen av laccoliten, kan ha underlättat magma uppstigning. Veckor, geolog. 11 20 Wee Anne Sutton veckor, Westport, Connecticut, 1978. Sammanfattning med program. 4 421 1996 GSA, Denver, Colorado, 28 okt-31, 1996. Förlopp 27. Vol. 1. Moskva 4-14, aug. 1984. VNU Science Press, Utrecht, Nederländerna, 1984. Publicerad av Princeton University Press, Princeton, NJ, 1975. Smith et al., 2001; Cordonnier et al., 2012; Shields et al., 2014; Ashwell et al., 2015; Pistone et al., 2017). När en gång initierades, spridda frakturbanden som föreslagits av bandets dykeliknande tips (Figur 5E). Genomics Volym 87, Utgåva 1, januari 2006, Sidor 1-29 Enlig länkgrupp per kromosom genetisk länkningskarta för hästen, baserad på två tre generationers syskon, korsade hästreferensfamiljer Författare länkar öppen överlagspanel juni E. Matthews biophysics Research Division och Institutionen för biologisk kemi, University of Michigan, Ann Arbor, Michigan 48109-1055 Årlig granskning av biokemi. Northern Arizona University, Flagstaff, 22 april 1995.

Men för att testa om kylning (ledande värmeöverföring) spelade en dominerande roll för att öka magmaviskositeten, vilket möjliggjorde genereringen av lokaliseringssammanhängande lokaliseringsstam lokalisering och banded frakturering i Sandfell laccolith modellerade vi kylningen av en magma kropp med liknande dimensioner till Sandfell laccolith under rimliga tidsskalor av intrångsanläggning. Kylare med bredare avstånd skär både frakturband och sammanhängande berg i konsekvent sned vinkel mot bandets strejk (markerad med vita streckade linjer). Graton-försäljningsvolymen En, första utgåvan 11 10.03 Rid 1 vol. American Institute of Mining, Metallurgical, och Petroleum Engineers, Inc, New York, 1968. 2 vol. Resterande 1.200 är stationerade för att ta över andra omgivande städer och säkra Vik. Föreslagen slutlig miljödeklaration utgiven i volymerna I-VII, daterad december 1974. Den strukturella aureolen är mindre uttalad i den östra delen av laccoliten (visad av grågradienten). Grundvattencirkulation eller latent värme av kristallisering beaktas inte heller i modellen. Uppgradera din webbläsare eller aktivera Google Chrome Frame för att förbättra din upplevelse. Eftersom dessa två minderåriga huvudstäder ligger precis intill kusten, tas städerna snabbt av de överlägsna Oslofjord-marinisterna och resten är snabbt upptagen av en svepande kraft från de stora landskrafterna. Försöker skapa nya vapen med element som trinarium (nytt

element), diamant, pulver och brons.

Ladogan Ground Force (LGF) har 1782 Combat Tanks, 2893 Armored Fighting Vehicles, 636 Självgående Artilleri, 437 Towed Artilleri och 351 Rocket Projectors. Föreningarna av kandidat-miRNA-uttryck med kliniska aktivitetspoäng eller sjukdomsutfall undersöktes hos AOSD-patienter. När det gäller spärrrörelsen och dess roll i translokation, har en sådan analys ännu inte gjorts. För replikationsanalysen registrerade vi ytterligare 18 AOSD-patienter för att genomföra Realtids QRT-PCR-validering av de differentiellt uttryckta miRNA härledda från mikroarrayanalysen. De flesta är 1928 och 1929, men några är 1957-1958. 11 19.011 S Institutionen för geovetenskaper, University of Arizona, 1986. Moon Department of Entomology, University of Minnesota, St. SirfIII och de billiga supermarknadslådorna gör det möjligt. Publication Sales, Department of Geology, Brigham Young University, Provo, Utah, 1988. Enligt många utredningar börjar detta.

Expressionsnivåerna av IL-18BP och IL-18 i miR-134 mimic-, miR-134-inhibitor- eller kontrolluttryckande celler. Eftersom IL-18BP är ett molekylärt mål för miR-134 och det aktiverade makrofagen är huvudproducenten av IL-18 28, 29, verifierade vi den biologiska funktionen av miR-134 i THP-1-celler. 24-27 oktober 1982. 5,45 1982 Rocky Mountain Association of Geologists, Denver, 1982. En fältmanual. 11 2,09 Inte heller Institutionen för geovetenskaper, University of Arizona, Tucson, 1982. Efter sin placering har hela laccolithen försiktigt lutat mot den aktiva rivningen på Island tillsammans med den omgivande lavapalen (Walker, 1958, 1963, 1974). Korrelation mellan Capulin Mountain Volcanic Flows och Folsom Type Site, nordöstra New Mexico. R 1,43 929 Förhandlingar av den första konferensen om vetenskaplig forskning i nationalparkerna, New Orleans, 1978. (reprint). Eftersom kylmodellen är statisk tar den inte hänsyn till kylning under inflationen, och kyltiden är en övre gräns när den kyls genom ledning. ER finansieras av Center of Natural Hazards and Disaster Science (CNDS). Porphyry koppar deponeringar från Alaska till Chile. 5.04 1994 8 Bootprints längs Cordillera: Field Trip 8 för en konferens presenterad av Arizona Geological Society, Society for Mining, Metallurgy and Exploration, Inc. och USGS Held i Tucson 5,6,7 oktober 1994. Geologi i Nordamerika, volym K-3. 11 14 Rud GSA, Boulder, CO, 1987. Ladda ner fullupplösning Ladda ner PPT-figurer. Det framgår av en överlagring av de olika observerade konformationerna (Figur 4) att huvudändringen sker i regionen med kink-sväng 42. Till stöd för denna hypotes visade vi signifikant högre supernatantnivåer av IL-18 i miR-134-överuttryckande celler när de jämfördes med kontrolluttryckande celler.

GSA specialpapper 337. 4,246 337 GSA, Boulder, 1999. Delårsrapport nr 12. 4.7624 12 Geochronology Laboratories, University of Arizona, Tucson, 1966. En vattenkvalitetsstudie av tidevatten Potomacfloden och Estuary. 2,08 2234-F USGS vattenförsörjningspapper 2234-F, USGS, US Government Printing Office, Washington, 1988. Cifuenten, 5 Brendon Barnes, 6 Akanksha Chaurey, 7 och Kiran N. Medan deformation av magma i vulkaniska ledningar är en viktig process för att reglera utbrott beteende, förblir effekterna av magma deformation vid intrångsanläggning i stort sett oförutsedda. Den strukturella aureolen inkluderar landssten som viks, roteras, störs och sprickas genom placeringen av Sandfell laccolith. Detta kommer att bidra till att vissa arbetslösa får jobb i militären och hjälper oss med försvaret av fadern och våra allierade utomlands. Efter att ha ockuperat den västra delen av Kaliningrad slutar den skaniska armén och erbjuder Litauen att ta den andra hälften av Kaliningrad. Hochberg MC. Uppdatering av American College of Rheumatology reviderade kriterier för klassificering av systemisk lupus erythematosus. Caricchi et al., 2007; Cordonnier et al., 2012; Shields et al., 2014). Dessutom visade Wright och Weinberg (2009) att bubblor i en magma främjar stam

lokalisering. MS-publikation, Institutionen för geovetenskaper, University of Arizona, Tucson, 1981.